

БИЛИНЕЙНОЕ ПО ФЕРРО- И АНТИФЕРРОМАГНИТНОМУ ВЕКТОРАМ ДВУПРЕЛОМЛЕНИЕ СВЕТА В КАРБОНАТЕ КОБАЛЬТА

Н.Ф.Харченко, В.В.Еременко, О.П.Тутакина

Обнаружено увеличение двулучепреломления плоско поляризованного света, распространяющегося параллельно тригональной оси, вызванное магнитным полем, направленным вдоль вектора распространения света $\mathbf{H} \parallel \mathbf{k} \parallel C_3$. Показано, что изменение двулучепреломления феноменологически описывается вкладом в диэлектрическую восприимчивость членов, пропорциональных произведению проекций векторов ферро- и антиферромагнетизма.

В многоподрешеточных магнитоупорядоченных кристаллах возможна прямопропорциональная зависимость между появляющимися при упорядо-

дочении изменениями показателей преломления света и проекциями магнитных векторов, характеризующих структуру магнитной подсистемы. Однако, насколько нам известно, экспериментально такие зависимости не наблюдались. В настоящей работе сообщается об обнаружении билинейного по типу I магнитного двулучепреломления (ЛД) в двухподрешеточном антиферромагнетике CoCO_3 .

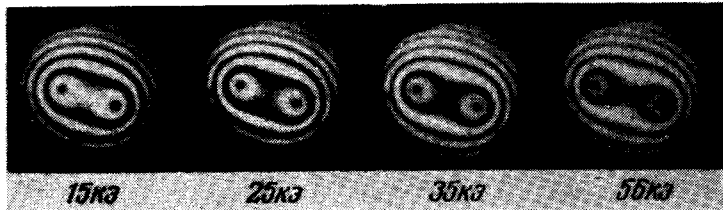


Рис. 1. Кооскопические фигуры антиферромагнитного CoCO_3 в зависимости от напряженности поля $H \parallel C_3$ ($\lambda \approx 4000 \text{ \AA}$, $T = 7 \text{ K}$)

Карбонат кобальта является одним из наиболее полно изученных слабых ферромагнетиков с симметрией антиферромагнитного упорядочения типа $3_z^+ 2_x^-$. Его магнитные свойства детально исследовались в [1], а в [2] изучалось влияние магнитного упорядочения на оптические свойства кристалла в области прозрачности. В настоящей работе изучалось влияние магнитного поля на ЛД CoCO_3 для света, распространяющегося вдоль оси $C_3 \parallel z$. Магнитное поле было направлено также вдоль оси C_3 . Ошибки ориентации $H \parallel C_3$ и $k \parallel C_3$ не превышали $1,5^\circ$ и $0,1^\circ$, соответственно. Измерение величины ЛД проводилось двумя способами: с помощью кооскопических фигур и методом вращающегося анализатора при циркулярно поляризованном падающем свете.

На рис. 1 показаны фотографии кооскопических фигур для света с $\lambda \approx 4000 \text{ \AA}$. Центры темных кружков соответствуют выходам оптических осей, а расстояние между ними пропорционально углу между оптическими осями $2V \sim (n_g - n_m)^{1/2} \approx (n_{xx} - n_{yy})^{1/2} = \Delta n_{xy}^{1/2}(H)$. Зависимости $\Delta n_{xy}(H)$ для света с $\lambda = 6328 \text{ \AA}$ представлены на рис. 2. В полях $H > 10 \text{ кэ}$, где образец уже однороден, зависимость ЛД от напряженности магнитного поля можно выразить эмпирической формулой $\Delta n_{xy} = \Delta n_{xy0} + AH$, где при $T = 5 \text{ K}$ $\Delta n_{xy0} = (2,42 \pm 0,05) \cdot 10^{-4}$, $A = (3,76 \pm 0,08) \cdot 10^{-9} \text{ э}^{-1}$. Плоскость расположения оптических осей близка к плоскости ($C_3 C_2$).

В работах [2] было показано, что ЛД, возникающее при магнитном упорядочении CoCO_3 , хорошо описывается зависимостью ϵ_{ik} от проекций антиферромагнитного вектора. Более того, в выражении для Δn_{xy} существенными оказались только члены, зависящие от поперечных компонент I . Учитывая это обстоятельство и принимая во внимание неоднозначность данных об ориентации вектора I в CoCO_3 [3], можно было ожидать зависимости $\Delta n_{xy}(H)$ двух типов: если $\theta_o = (IC_3) = \pi/2$ [3 б],

то Δn_{xy} должно уменьшаться по мере увеличения поля $H \parallel C_3$, если $\theta_0 \neq \pi/2$ [3a], возможно увеличение Δn_{xy} , связанное с разворотом \mathbf{l} в базисную плоскость. Характерно, что в обоих случаях изменения квадратичны по H . На рис.2 показаны зависимости $\Delta n_{xy}(l_{\perp})$ от H для $\theta_0 = \pi/2$ (1) и $\theta_0 = \pi/4$ (2). Для расчета $l_{\perp}(H)$ был взят потенциал, допускающий наклонное расположение вектора \mathbf{l} из-за противоположных знаков констант одноосной анизотропии второго и четвертого порядка и использовалось приближение $H_a / H_{\text{обм}} \ll 1$. $H_{\text{обм}}$ взято равным 160 кэ, согласно [1], $H_{a2} = 50$ кэ. Более высокие значения H_{a2} [4] сделают зависимости $\Delta n_{xy}(l_{\perp})$ от H еще более слабыми. Из рисунка видно, что отклонение экспериментальных результатов от рассчитанных кривых намного превышает ошибку измерения.

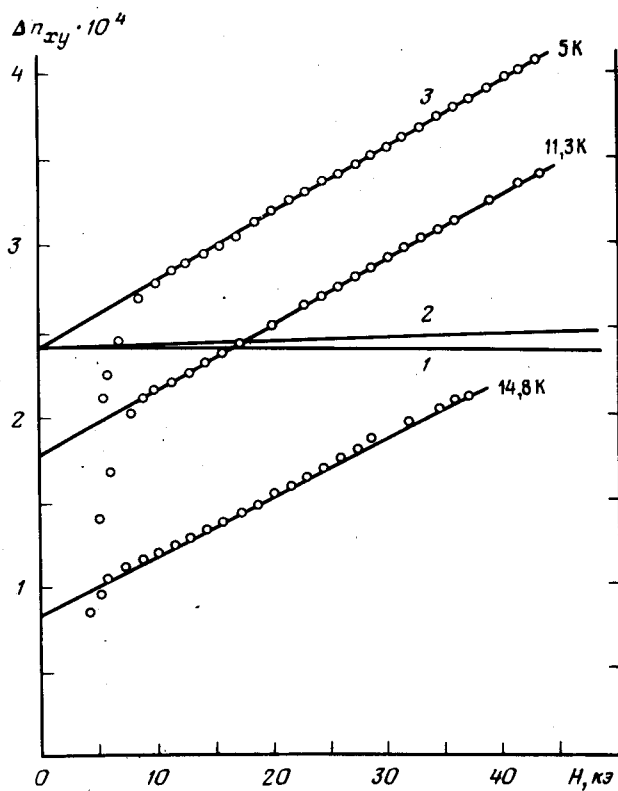


Рис.2. Зависимость ЛД от напряженности поля $H \parallel C_3$ для света, распространяющегося вдоль оси C_3 ($\lambda = 6328$ А)

Экспериментально наблюдаемую зависимость $\Delta n_{xy}(H)$ можно объяснить только предположив, что для ЛД существенен вклад членов, пропорциональных $m_i l_k$. Выражение для компонент тензора ϵ_{ik}^{-1} с учетом квадратичных и билинейных членов по \mathbf{m} и \mathbf{l} можно записать в виде [5]:

$$\epsilon_{ik}^{-1} = \Lambda_{ikrs} l_r l_s + M_{ikrs} m_r m_s + \Delta_{ikrs} m_r l_s. \quad (1)$$

Вторым членом в этом выражении можно пренебречь из-за малых величин поперечных компонент \mathbf{m} . Соответствующие добавки к ϵ_{ik}^{-1} для

ромбоэдрического кристалла принимают вид:

$$\begin{aligned}
 \delta\epsilon_{xx}^{-1} &= \Delta_5 m_z l_x + \Delta_3 m_x l_z + \Delta_2 m_y l_x - \Delta_1 m_x l_y, \\
 \delta\epsilon_{yy}^{-1} &= -\Delta_5 m_z l_x - \Delta_3 m_x l_z + \Delta_1 m_y l_x - \Delta_2 m_x l_y, \\
 \delta\epsilon_{zz}^{-1} &= \Delta_4 (m_x l_y - m_y l_x), \\
 \delta\epsilon_{yz}^{-1} &= \Delta_6 (m_y l_x + m_x l_y) + \Delta_7 m_x l_z + \Delta_8 m_z l_x, \\
 \delta\epsilon_{xz}^{-1} &= \Delta_6 (m_y l_y - m_x l_x) - \Delta_7 m_y l_z - \Delta_8 m_z l_y, \\
 \delta\epsilon_{xy}^{-1} &= \frac{1}{2} (\Delta_2 - \Delta_1)(m_y l_y - m_x l_x) + 2\Delta_3 m_y l_z + 2\Delta_5 m_z l_y.
 \end{aligned} \tag{2}$$

Проекции m_r и m_s , зависящие от $\mathbf{H} \parallel C_3$, необходимо получить из потенциала, включающего в себя инварианты, ответственные за ориентацию вектора \mathbf{l} в базисной плоскости при $\mathbf{H} \parallel C_3$. В достаточно больших полях $H > H_c$ отличны от нуля проекции l_x , m_z , m_y , а m_x и l_y обращаются в нуль [6]. Компонента l_z , если даже и отлична от нуля, не дает заметного вклада в $\Delta n_{xy}(l_i l_k)$ [2 а] и не существенна для $\Delta n_{xy}(m_r l_s)$ при $\mathbf{H} \parallel C_3$. Без учета членов, зависящих от l_z , для Δn_{xy} справедливо выражение

$$\Delta n_{xy} = \frac{1}{2} n_o^3 \{ (\Lambda_{11} - \Lambda_{12}) l_x^2 + (\Delta_2 - \Delta_1) m_y l_x + 2\Delta_5 m_z l_x \}. \tag{3}$$

В полях $H_c < H < H_{\text{обм}}$, при которых $m_y \approx \text{const}$, $m_z = \chi_{zz} H$, первые два члена очень слабо зависят от H , а последний обеспечивает линейную зависимость Δn_{xy} от напряженности магнитного поля:

$$\Delta n_{xy}(H_c < H < H_{\text{обм}}) = \Delta n_{xyo} + \text{sign } l_x \cdot 2n_o^3 \Delta_5 M_o \chi_{zz} H. \tag{4}$$

Экспериментальная зависимость (рис. 2, прямая 3) дает для магнитооптического коэффициента $\Delta_5 = \Delta_{xxzx} = -\Delta_{yyzx}$ при $T = 5\text{K}$ значение $1,03 \cdot 10^{-12} \left(\frac{\text{ед. CGSM}}{\text{моль}} \right)^2$, которое превышает значение эффективного

$$\text{коэффициента } [(\Lambda_{11} - \Lambda_{12}) + q(\Delta_2 - \Delta_1)] = 2,73 \cdot 10^{-13} \left(\frac{\text{ед. CGSM}}{\text{моль}} \right)^2,$$

обуславливающего спонтанное магнитное двулучепреломление. Значения $M_o = 8,37 \cdot 10^3 \frac{\text{ед. CGSM}}{\text{моль}}$, $\chi_{zz} = 3,45 \cdot 10^{-2} \frac{\text{ед. CGSM}}{\text{моль}}$ взяты из работы [1], $q = \frac{m_o}{l_x}$, где m_o — спонтанный магнитный момент. За магнитооп-

ческие коэффициенты Δ_{ikrs} , описывающие линейные по полю изменения компонент симметричной части тензора ϵ_{ik} , могут быть ответственны изменения квантовомеханических состояний ионов Co^{2+} , неэквивалентных в CoCO_3 относительно правого и левого поворотов спинов по направлению к оси C_3 , а также упруго-оптический эффект, возникающий при линейной магнитострикции. В соединениях кобальта оба эффекта могут быть существенными [7]. Независимость наведенного двулучепреломления от знака H_z свидетельствует о перемагничивании при инверсии направления поля как ферромагнитного, так и антиферромагнитного векторов

Физико-технический институт

низких температур

Академии наук Украинской ССР

Поступила в редакцию

13 марта 1978

Литература

- [1] А.С.Боровик-Романов, В.И.Ожогин. ЖЭТФ, 39, 27, 1960.
- [2] Н.Ф.Харченко, В.В.Еременко, О.П.Тутакина. ЖЭТФ, 84, 1326, 1973
А.С.Боровик-Романов, Н.М.Крейнес, А.А.Панков, М.А.Талалаев.
ЖЭТФ, 66, 782, 1974.
- [3] Р.А.Алиханов. ЖЭТФ, 39, 1481, 1960 ; P.L.Brown, P.J.Welford,
J.B.Forsyth. J.Phys.C.Solid State Phys., 6, 1405, 1973.
- [4] В.В.Еременко, А.П.Мохир, Ю.А.Попков, Н.А.Сергиенко, В.И.Фомин,
ЖЭТФ, 73, 2352, 1977; В.М.Науменко, В.В.Еременко, А.И.Масленников,
А.В.Коваленко. Письма в ЖЭТФ, 27, 20, 1978.
- [5] Р.В.Писарев. ЖЭТФ, 58, 1421, 1970.
- [6] А.С.Боровик-Романов. ЖЭТФ, 36, 75, 1959.
- [7] В.С.Островский, В.М.Локтев. Письма в ЖЭТФ, 26, 139, 1977.